铈和钙处理对 NM450 钢中夹杂物的影响

郭树豪1,刘金瑞1,高军2,樊立峰3,崔衡18

(1. 北京科技大学钢铁共性技术协同创新中心, 北京 100083; 2. 内蒙古包钢钢联股份有限公司制造部, 内蒙古 包头 014010; 3. 内蒙古工业大学材料科学与工程学院, 内蒙古 呼和浩特 010051)

摘 要:通过配置有 AZtecFeature 自动夹杂物分析模块的扫描电镜-能谱仪(SEM-EDS)和 Factsage 热力学计算,研究了国内某厂稀土 NM450 钢生产过程中的 Ca 处理和 Ce 处理对钢中夹杂物的演化过程的影响。结果表明: 经过0.001 5%Ce 处理,钢液中主要夹杂物 xCaO·yAl₂O₃ 被改性为低熔点 xCaO·yAl₂O₃·zCe₂O₃、CeAlO₃+xCaO·yAl₂O₃、CeAlO₃+xCaO·yAl₂O₃·zCe₂O₃ +CaS 和低熔点 xCaO·yAl₂O₃·zCe₂O₃ +CaS 夹杂物。Ce 处理 20 min 后,钢中约 53% 夹杂物被去除。钢液中 [Ce] 扩散进入 xCaO·yAl₂O₃ 形成低熔点 xCaO·yAl₂O₃·zCe₂O₃ 夹杂物。钢液中的 xCaO·yAl₂O₃ 与 [Ce] 反应产生 CeAlO₃,进而生成 CeAlO₃+xCaO·yAl₂O₃ 夹杂物。二次 Ca 处理后,含 Ce 夹杂物种类没有发生改变,尽管部分夹杂物转化为液态夹杂物,但同时导致了夹杂物总体数量上升,且 CaS 成为了主要夹杂物。这表明现行Ce 处理协同双 Ca 处理的精炼工艺存在钙处理过量的问题。

关键词:非金属夹杂物; Ce 处理; Ca 处理; NM450 钢; 夹杂物改性

中图分类号:TF76,TG115

文献标志码:A

文章编号:1004-7638(2025)01-0158-07

DOI: 10.7513/j.issn.1004-7638.2025.01.022

开放科学 (资源服务) 标识码 (OSID):



听语音 聊科研

Effects of cerium and calcium treatment on the inclusions in NM450 steel

GUO Shuhao¹, LIU Jinrui¹, GAO Jun², FAN Lifeng³, CUI Heng^{1*}

(1. Collaborative Innovation Center of University of Science and Technology Beijing, Beijing, 100083, China; 2. Inner Mongolia Baotou Steel Union Co., Ltd., Baotou 014010, Inner Monolia, China; 3. School of Materials Science and Engineering, Inner Mongolia University of Technology, Hohhot 010051, Inner Monolia, China)

Abstract: The effects of Ca treatment and Ce treatment on the steel inclusions during the steelmaking process of Ce-contented NM450 steel were studied. The evolution process of inclusions in steel was analyzed by Scanning electron microscope-energy dispersive spectrometer (SEM-EDS) equipped with AZtecFeature automatic inclusion analysis module and Factsage thermodynamic calculation. After 0.001 5% Ce treatment, the main inclusions in the molten steel are modified from xCaO·yAl₂O₃ into complex inclusions such as low melting point xCaO·yAl₂O₃·zCe₂O₃, CeAlO₃+xCaO·yAl₂O₃, CeAlO₃+xCaO·yAl₂O₃, CeAlO₃+xCaO·yAl₂O₃+CaS and low melting point xCaO·yAl₂O₃·zCe₂O₃ +CaS. About 53% of the inclusions in the steel were removed after Ce treatment for 20 minutes. [Ce] diffuses into xCaO·yAl₂O₃ to form low melting point xCaO·yAl₂O₃·zCe₂O₃ inclusions in the molten steel. xCaO·yAl₂O₃ in the molten steel reacts with [Ce] to produce CeAlO₃, which in turn generates CeAlO₃+xCaO·yAl₂O₃ inclusions. After the secondary Ca treatment, the Ce inclusion species did not change. Although some of the inclusions were con-

收稿日期:2024-01-09

基金项目:中央引导地方科技发展资金(2022ZY0001)。

verted into liquid inclusions, the overall number of inclusions increased, and CaS became the dominant inclusion. It indicates that there is a problem of excessive calcium treatment in the current Ce treatment combined with double Ca refining treatment processes.

Key words: non-metallic inclusions, Ce treatment, Ca treatment, NM450 steel, inclusion modification

0 引言

NM450 钢是一种应用广泛的低合金耐磨钢, 其具有合金含量低、韧性佳、耐磨性高等优势^[1]。耐磨钢中夹杂物的控制是提升耐磨钢的质量和性能的重要方式。目前工业生产过程中, 多采用 Ca 处理的方式控制 NM450 钢中 Al₂O₃ 等夹杂物, 使之具有较低的熔点和良好的塑性^[2-3]。然而, 随着冶金工艺要求的提升, Ca 处理存在的增加大型夹杂物出现频率,降低夹杂物去除效率, 加剧耐火材料侵蚀等问题得到了更多关注^[4], 通过如稀土处理, Mg 处理等其他工艺替代或协同钙处理, 成为近年来控制夹杂物,提高钢质量的研究热点^[5]。

稀土元素因其对钢液洁净度和钢质量的改善效果而得到了大量研究^[6-10]。试验条件下,稀土对多种成分的钢中 Al 系夹杂物的改性效果和作用机制已得到了较为充分的研究^[11-16]。然而,实际生产应用过程中,稀土处理会与其他处理工艺协同进行,作用效果受到相互影响,并受到冶炼工艺的影响,存在收得率低、水口结瘤、作用效果不稳定等问题^[17-18],而目前工业生产中稀土处理与 Ca 处理工艺的相互影

响及作用机制尚未得到充分研究。

为此,笔者基于某钢厂稀土 NM450 钢生产工艺,通过扫描电镜、能谱分析、夹杂物自动统计,结合热力学计算,研究了 Ca 处理和稀土 Ce 处理后钢中夹杂物演化过程,并分析了 Ce 处理与 Ca 处理在改性夹杂物过程中的相互作用,旨在对 NM450 钢实际生产过程中的稀土处理工艺提供理论指导。

1 取样及试验分析

某钢厂稀土 NM450 钢生产工艺为: BOF 冶炼→LF 精炼→RH 精炼→连铸, 期间进行两次 Ca处理和一次 Ce处理(Ce加入量约为 0.001 5%), 处理和钢液取样时机如图 1 所示。通过直读光谱仪(CCD7000)、电感耦合等离子体质谱(ICP-MS)、氧氮分析仪(TCH600)和碳硫分析仪(CS-2 800)分析钢液样本成分, 试验钢成分如表 1 所示。通过 SEM扫描电镜、EDS 能谱分析仪和 AztecFeature 夹杂物自动分析模块, 对钢样本中夹杂物进行分析和统计, 分析 Ce处理和 Ca处理对夹杂物的影响,并对典型夹杂物演化过程的热力学条件进行计算, 分析在 Ce处理和 Ca处理对钢中夹杂物的影响情况。

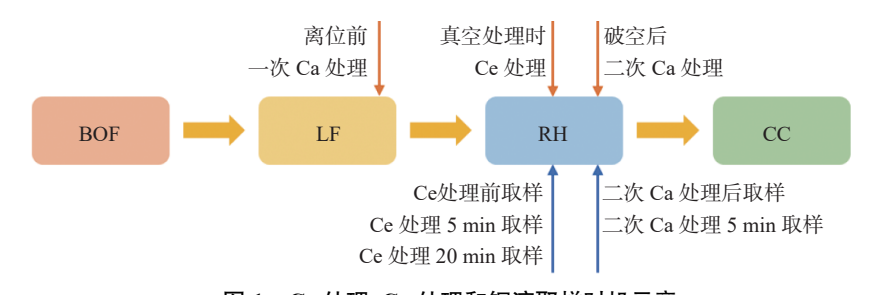


图 1 Ce 处理、Ca 处理和钢液取样时机示意 Fig. 1 Schematic diagram of Ce-Ca treatment and steel liquid sampling timing

表 1 试验钢样化学成分 Table 1 Chemical composition of wear-resistant steel

C	Si	Mn	P	Cr	Мо	Nb	Al	Ti
0.194	0.255	1.242	0.009 8	0.782 8	0.282 5	0.018 9	0.050 7	0.014 2

2 结果与分析

2.1 Ce 处理和 Ca 处理对钢中夹杂物成分、数量和平均尺寸的影响

图 2 为利用 AztecFeature 夹杂物自动分析模块 对钢液样本中各夹杂物种类所占比例、数密度和平 均直径统计的结果。Ce 处理前,钢中主要夹杂物 为 xCaO·yAl₂O₃,同时存在少量的 Al₂O₃、CaS、MnS,

%

表明一次 Ca 处理对钢中脱氧产物的改性效果较好。随着 Ce 的加入,钢中夹杂物数量略微上升,其中主要夹杂物由 xCaO·yAl₂O₃ 转化为 xCaO·yAl₂O₃、Ce-Al-Ca-O 和 Ce-Al-Ca-O-S 三种夹杂物。由于三种夹杂物的总占比与 Ce 处理前钢液中 xCaO·yAl₂O₃ 比例接近,且样本中并未发现独立的 Ce 化合物夹杂,这一阶段的夹杂物数量上升应归因于 Ce 对xCaO·yAl₂O₃ 的改性作用。随着真空处理的进行,相比于 Ce 处理前, Ce 处理 20 min 后,钢中约 53%的夹杂物被去除。二次 Ca 处理后,夹杂物数密度再次上升,其中 CaS 夹杂物占比由 6% 大幅增加至62%,成为钢中主要夹杂物,而原有的三种主要夹杂物总比例由 83% 降至 31%,表明二次 Ca 处理对钢液洁净度产生了不利影响。

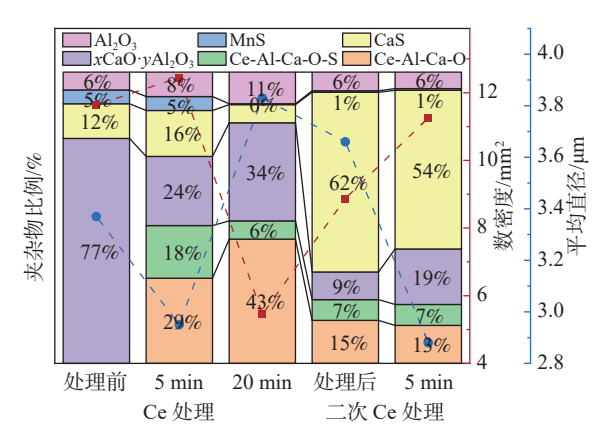


图 2 钢中夹杂物占比、数密度和和平均尺寸统计 Fig. 2 Statistical diagram of the proportion, number density and average size of inclusions in steels

2.2 Ce 处理和 Ca 处理对钢中夹杂物类型及形貌的影响

图 3 为 Ce 处理前钢中典型夹杂物 xCaO·yAl₂O₃ 的形貌和 EDS 面扫结果, 其呈现较高的球化形貌和 均质特征。Ce 处理后钢中的主要夹杂物中出现了 Ce-Al-Ca-O 和 Ce-Al-Ca-O-S 夹杂物, 其典型形貌

和 EDS 面扫结果如图 4 所示。其 4(a) 中夹杂物质 地均匀,形貌上相比 4(b)(c) 无法区分成分差异,面 扫结果中尽管 Ce 与 Ca、Al、O元素没有完全重合, 但 Ca、Al、O 的富集区域范围远高于夹杂物颗粒对 应的范围, 考虑到夹杂物尺寸较小, 其与 Ce 分布的 差异应该是 EDS 测试误差造成的, 因此认为 4(a) 所 示的夹杂物在钢液中以液态的形式存在。QIU 等[19] 研究表明存在低熔点 xCaO·yAl₂O₃·zCe₂O₃ 夹杂物。 故认为, Ce-Al-Ca-O 夹杂物为低熔点 xCaO·yAl₂O₃· zCe_2O_3 夹杂物。同时, 4(b)(c) 中的复合夹杂物的形 貌接近球形,有一定的多边形轮廓,且在背散射模式 下有明暗区域。根据 EDS 扫描结果, Ce 含量富集 区域与明亮区域有重合性。因此认为, 光亮区域为 高熔点 CeAlO,夹杂物。这符合半固态夹杂物的形 貌特征^[20]。因此认为, 4(b) 中的复合夹杂物为高熔 点 CeAlO, 夹杂物被液态 xCaO·vAl₂O, 包覆的半固 态夹杂物。而 4(c) 中的 Ce-Al-Ca-O-S 夹杂物是由 浅色部分的 CeAlO₃ 和深色部分的 xCaO·yAl₂O₃+ CaS 组成的复合夹杂物。Ce-Al-Ca-O 夹杂物存在 低熔点 xCaO·yAl₂O₃·zCe₂O₃ 夹杂物和 CeAlO₃+ xCaO·yAl₂O₃复合夹杂物两种形式。类似地,图 5 所示的二次 Ca 处理后钢中典型 Ce-Al-Ca-O-S 夹杂 物的 EDS 面扫结果显示,其由低熔点 xCaO·yAl₂O₃· zCe₂O₃夹杂物和 CaS 组成,即钢中 Ce-Al-Ca-O-S 夹杂物同样有 CeAlO3+xCaO·yAl2O3+CaS 和 CaS+ 低熔点 xCaO·yAl₂O₃·zCe₂O₃ 两种存在形式。造成两 种存在形式的原因是 Ce-Al-Ca-O 夹杂物体系中 Ce 和 Ca 含量的变化, 使其在 CaO-Al₂O₃-Ce₂O₃体 系中所处的平衡区域发生改变,下文将对其进行详 细论述。二次 Ca 处理后钢中 CaS 夹杂物主要为直 径不足 1 μm 的细小夹杂物,即图 2 中二次 Ca 处理 夹杂物数量不断增加且夹杂物平均尺寸不断降低的 结果是由大量 CaS 的生成造成的。

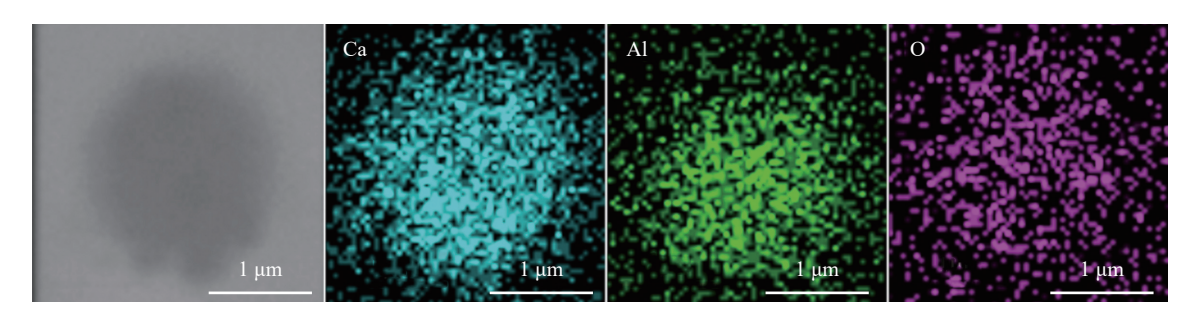
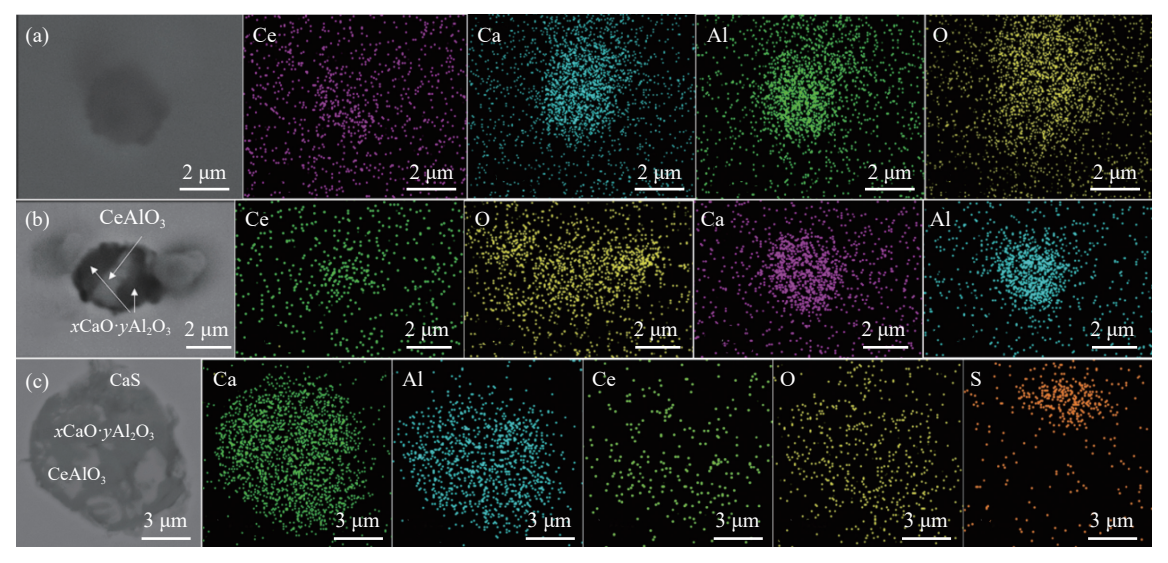


图 3 加 Ce 前钢中典型夹杂物的形貌和 EDS 面扫描结果 Fig. 3 Morphology and EDS elemental maps of typical inclusions in steels before Ce treatment

3 Ce 处理和 Ca 处理对 Ce-Al-Ca-O 夹杂物的作用机制

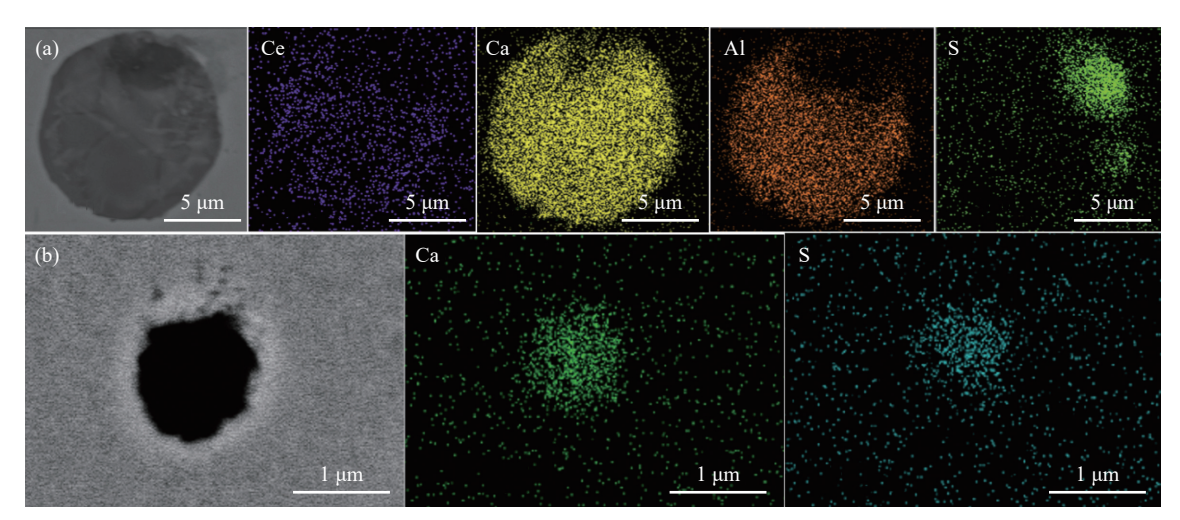
为研究钢中 Ce、Ca 含量对其中夹杂物组分的影响,使用 Factsage 热力学软件计算 NM450 钢中成分在 1600 °C 下的相图,计算结果如图 6 所示。在 Ce 含量小于 0.004% 时,随着 Ca 含量的增加,钢中的含 Ca 夹杂物演化过程为: CaAl₄O₇+CaAl₁₂O₉→ Liq(液态夹杂物)→Liq+CaS。随着 Ce 含量的增加,钢中的 Ce 化合物演化过程为: Al₁₁O₁₈Ce+CeAlO₃→

CeAlO₃→CeAlO₃+Ce₂O₃,并降低 xCaO·yAl₂O₃ 夹杂物演化所需 Ca 含量。在 Ce 含量大于 0.004% 时,钢中只可能产生 CaS,而无法形成 xCaO·yAl₂O₃ 夹杂物。本试验 Ce 处理过程添加 Ce 含量约为 0.0015%, Ca 处理能够影响 xCaO·yAl₂O₃ 夹杂物的种类和 CaS 的生成。需要指出的是,由于缺少 CaO-Al₂O₃-Ce₂O₃三元体系中各组分含量变化对其存在形式的影响,无法仅通过图 6 的计算结果全面说明 Ce 处理和 Ca 处理对 Ce-Al-Ca-O 夹杂物的作用机制。



(a) 低熔点 xCaO·yAl₂O₃·zCe₂O₃ 夹杂物; (b) CeAlO₃+xCaO·yAl₂O₃ 复合夹杂物; (c) CeAlO₃+xCaO·yAl₂O₃+CaS 复合夹杂物 **图 4 Ce 处理后钢中典型夹杂物的形貌和 EDS 面扫描结果**

Fig. 4 Morphologies and EDS elemental maps of typical inclusions in steels after Ce treatment



(a) CaS+低熔点 xCaO·yAl₂O₃·zCe₂O₃ 复合夹杂物; (b) CaS 夹杂物

图 5 Ca 处理后钢中典型夹杂物的形貌和 EDS 面扫描结果

Fig. 5 Morphologies and EDS elemental maps of typical inclusions in steels after secondary Ca treatment

根据夹杂物统计结果, Ce 处理后, 钢中并未产生独立的 Ce 化合物夹杂物, 含 Ce 夹杂物为低熔点 xCaO·yAl₂O₃·zCe₂O₃和 CeAlO₃+xCaO·yAl₂O₃复合夹杂物,及其与 CaS 组成的复合夹杂物。其中,低熔点 xCaO·yAl₂O₃·zCe₂O₃是通过 [Ce] 扩散进入液态 xCaO·yAl₂O₃·zCe₂O₃是通过 [Ce] 扩散进入液态 xCaO·yAl₂O₃·交杂物中形成, 而复合夹杂物中CeAlO₃则可能通过以下方式产生: 钢中的 [Ce] 与液态 xCaO·yAl₂O₃反应生成 CeAlO₃; 随着溶于液态夹杂物中的 [Ce] 含量不断提高, 在液态夹杂物内部析出 CeAlO₃。此处, 考虑到固态 CeAlO₃ 夹杂物与钢液的不润湿性,以及 CeAlO₃可溶入三元CaO·Al₂O₃·Ce₂O₃ 渣系内。因而, 生成的固态 CeAlO₃更易在表面张力的影响下被液态夹杂物包裹^[19,21-22]。

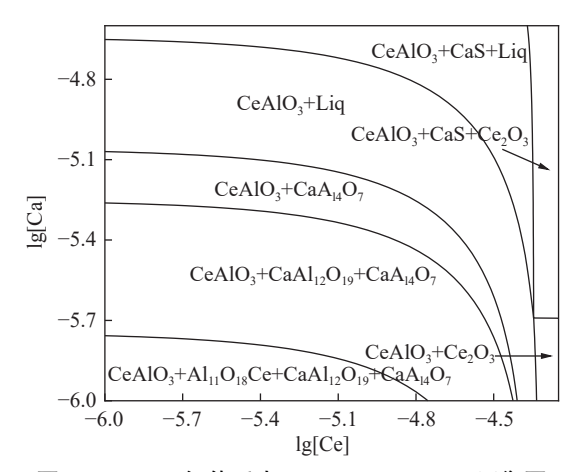


图 6 NM450 钢体系中 1 600 $^\circ$ C 下 Ca-Ce 平衡图 Fig. 6 Stability diagram of NM450 steel system at 1 600 $^\circ$ C

将各样本中 Ce-Al-Ca-O 夹杂物成分投射在 CaO-AlO_{1.5}-CeO_{1.5} 相图中,并根据 Factsage 热力学 软件计算和相关试验研究^[23],在相图中标明 CaO-AlO_{1.5}-CeO_{1.5} 三元系的纯液相区和液相+CeAlO₃ 区域得到图 7。由图 7 可知, Ce 处理 5 min 后,夹杂物成分从纯液相区移动至液相+CeAlO₃ 区域, Ce-Al-Ca-O 夹杂物中三种组分的平均摩尔分数由 40.0CaO-60.0AlO_{1.5} 转变为 29CaO-31.5AlO_{1.5}-39.5CeO_{1.5},其反应方程表示为式(1)所示。

[Ce] + CaO·Al₂O₃ = CeAlO₃ + CaO+
[Al]
$$\triangle G^{\theta}$$
 = -123133 - 12.52 $T^{[22]}$ (1)

1 600 ℃下, 3CaO·Al₂O₃、12CaO·7Al₂O₃和 CaO·Al₂O₃可能形成液态夹杂物。根据图 7 中三元体系的液相区域范围, 3CaO·Al₂O₃液相夹杂物中只需极少量 CeO₁,即可析出 CeAlO₃,而 12CaO·7Al₂O₃

和 CaO·Al₂O₃ 均需要 CeO_{1.5} 摩尔分数达到 21% 以上才可产生 CeAlO₃。考虑到钢液中 Ce 含量极低,只有 3CaO·Al₂O₃ 可能通过溶解钢中 [Ce] 析出 CeAlO₃。

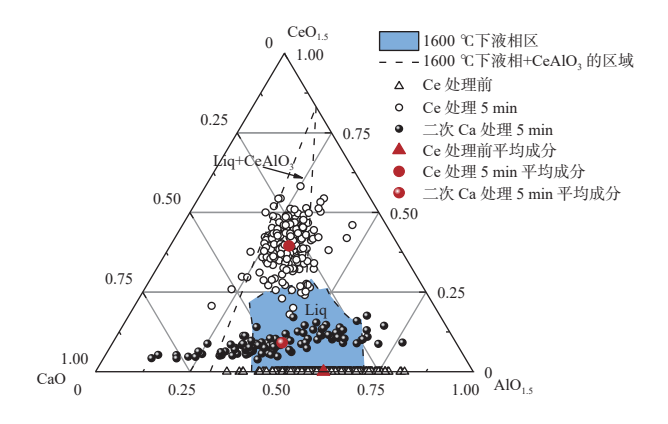


图 7 Ce-Al-Ca-O 夹杂物在 CaO-AlO_{1.5}-CeO_{1.5} 相图中的组成分布

Fig. 7 Composition distribution of Ce-Al-Ca-O inclusions in the CaO-AlO_{1.5}-CeO_{1.5} phase diagram

尽管图 7 中二次 Ca 处理后钢中 Ce-Al-Ca-O 夹杂物平均成分位于纯液相区,表明二次 Ca 处理 有助于降低 Ce-Al-Ca-O 夹杂物的熔点, 提高钢液的 可浇性。然而,二次 Ca 处理后 Ce-Al-Ca-O 夹杂物 成分分布范围较大,且产生了大量 CaS,导致钢中夹 杂物数量增加,恶化了钢液洁净度。因此,目前稀 土 NM450 钢牛产过程中存在 Ca 处理过量的问题。 二次 Ca 处理前钢中约 53% 的夹杂物已被去除,同 时,夹杂物数密度降低至 5.45 个/mm²。钢液中余下 夹杂物中83%为低熔点液态夹杂物或半固态夹杂 物,其中半固态夹杂物在与钢液润湿性差异和表面 张力的作用下,呈现出低熔点夹杂物包裹高熔点夹 杂物的球化特征。这说明 Ce 处理后对钢中夹杂物 的控制效果较好。与此同时,后续的 Ca 处理对夹 杂物的控制效果起到了一定反作用,且产生的大量 CaS 也会影响钢液的可浇性。因而需要考虑后续进 行二次 Ca 处理中 Ca 的加入量问题。

4 结论

 夹杂物, Ce 处理 20 min 后, 相比于 Ce 处理前, 钢中约 53% 的夹杂物被去除; 二次 Ca 处理后 CaS 成为钢中主要夹杂物, 同时夹杂物数量显著升高, 而含 Ce 夹杂物种类没有发生改变。

2) Ce 处理后, 钢中生成低熔点 *x*CaO·*y*Al₂O₃·*z*Ce₂O₃ 和 CeAlO₃+*x*CaO·*y*Al₂O₃ 两 种 Ce-Al-Ca-O 夹杂物。钢液中 [Ce] 扩散进入 *x*CaO·*y*Al₂O₃ 形成 低熔点 *x*CaO·*y*Al₂O₃·*z*Ce₂O₃ 夹杂物。钢液中的

xCaO·yAl₂O₃与 [Ce] 反应产生 CeAlO₃, 进而生成 CeAlO₃+xCaO·yAl₂O₃ 夹杂物。

3)二次 Ca 处理使 Ce-Al-Ca-O 夹杂物转化为 液态夹杂物,但二次 Ca 处理后 Ce-Al-Ca-O 夹杂物 成分差异大,且导致了大量 CaS 夹杂物产生和钢中夹杂物总体数密度的上升,恶化了钢液洁净度。因此,通过 Ce 处理协同双 Ca 处理的精炼方式生产 NM450 钢的工艺中存在 Ca 处理过量的问题。

参考文献

- [1] LI H Y, ZHANG Y, XIE Z. Wear behaviors of vanadium and titanium modified NM450 steel[J]. Iron Steel Vanadium Titanium, 2019, 40(3): 60-64.
 - (李会英, 张瑶, 谢尊. 钒钛改性机械 NM450 钢的磨损性能研究[J]. 钢铁钒钛, 2019, 40(3): 60-64.)
- [2] WANG Z Y, JIANG M, WANG X H. Formation and evolution behavior of inclusions in Q345D steel refining process[J]. Steel, 2022, 57(2): 63-72.
 - (王章印,姜敏,王新华. Q345D 钢精炼过程夹杂物生成及演变行为[J]. 钢铁, 2022, 57(2): 63-72.)
- [3] ZHANG L Q, YUAN Z. Effect of Ca treatment on the microstructure and properties of Ti high energy welded non quenched and tempered low alloy high-strength steel[J]. Materials Introduction, 2008, 22(S3): 166-168. (张莉芹, 袁泽. Ca 处理对 Ti 大线能量焊接非调质低合金高强钢组织与性能的影响[J]. 材料导报, 2008, 22(S3): 166-168.)
- [4] DENG Z Y, ZHU M Y. Analysis of clean steel refining calcium treatment technology [J/OL]. Iron and Steel, 2023, 9, 26: 1-14.
 - (邓志银,朱苗勇. 洁净钢精炼钙处理技术探析[J/OL]. 钢铁, 2023, 9, 26: 1-14.)
- [5] CHENG L, YANG W, LI S S, *et al.* Inclusion evolution during the production of pipeline steel by the "BOF → LF → RH → calcium treatment → CC" process[J]. Steelmaking, 2019, 35(6): 60-66.

 (程林, 杨文, 李树森, 等. "BOF→LF→RH→钙处理→CC" 工艺生产管线钢过程夹杂物演变[J]. 炼钢, 2019, 35(6): 60-66.)
- [6] YU J S, CHEN J Z, CHEN X Y, *et al.* Exploration of the development future of rare earth treatment steel[J]. Rare Earth, 1983(2): 53-59.
 - (余景生, 陈继志, 陈希颖, 等. 稀土处理钢发展前途的探讨[J]. 稀土, 1983(2): 53-59.)
- [7] XU D F, CHEN K H, HU G Y, *et al.* The effect of trace rare earth Ce on the microstructure and corrosion properties of Al-Zn-Mg aluminum alloy[J]. Materials Introduction, 2020, 34(8): 8100-8105.
 (徐道芬, 陈康华, 胡桂云, 等. 微量稀土 Ce 对 Al-Zn-Mg 铝合金组织和腐蚀性能的影响[J]. 材料导报, 2020, 34(8): 8100-8105.)
- [8] WANG H, BAO Y P, ZHI J G, *et al.* Effect of rare earth Ce on the morphology and distribution of Al₂O₃ inclusions in high strength IF steel containing phosphorus during continuous casting and rolling process[J]. ISIJ International, 2021, 61(3): 657-666.
- [9] WANG Y, LIU C. Evolution and deformability of inclusions in Al-killed steel with rare Earth-Alkali metals (Ca or Mg) combined treatment[J]. Journal of Rare Earths, 2023, 41(9): 1459-1466.
- [10] WANG L, SONG B, YANG Z B, *et al.* Effects of Mg and La on the evolution of inclusions and microstructure in Ca-Ti treated steel[J]. International Journal of Minerals, Metallurgy and Materials 28 (2021): 1940-1948.

- [11] WANG L C, TIAN J L, REN J, *et al.* The effect of Ce/Mg treatment on the cleanliness of M50 bearing steel[J]. Journal of Engineering Science, 2022, 44(9): 1507-1515.

 (王礼超, 田家龙, 任吉, 等. Ce/Mg 处理对 M50 轴承钢洁净度的影响[J]. 工程科学学报, 2022, 44(9): 1507-1515.)
- [12] YANG C, LUAN Y, LI D, *et al.* Effects of rare earth elements on inclusions and impact toughness of high-carbon chromium bearing steel[J]. Journal of Materials Science & Technology, 2019, 35(7): 1298-1308.
- [13] WANG X, WU Z, LI B, et al. Inclusions modification by rare earth in steel and the resulting properties: a review[J]. Journal of Rare Earths, 2023.
- [14] LI Y, LIU C, ZHANG T, *et al.* Inclusions modification in heat resistant steel containing rare earth elements[J]. Ironmaking & Steelmaking, 2018, 45(1): 76-82.
- [15] GAO S, WANG M, GUO J L, *et al.* Characterization transformation of inclusions using rare earth Ce treatment on Al killed titanium alloyed interstitial free steel[J]. Steel Research International, 2019, 90(10): 1900194.
- [16] LIU H Z, ZHANG J, ZHANG J, *et al.* First-principles study on the effect of rare earth element cerium on the modification and corrosion of non-metallic inclusions in steel[J]. Journal of Engineering Science, 2022, 44(9): 1516-1528. (刘瀚泽, 张静, 张继, 等. 稀土元素铈对钢中非金属夹杂物改性和腐蚀影响的第一性原理研究[J]. 工程科学学报, 2022, 44(9): 1516-1528.)
- [17] YANG J, LI T T. Research progress on inclusion control in rare earth treated non oriented silicon steel[J]. Steel, 2022, 57(7): 1-15.
 - (杨健, 李婷婷. 稀土处理的无取向硅钢夹杂物控制研究进展[J]. 钢铁, 2022, 57(7): 1-15.)
- [18] WANG Y G, LIU C J, QIU J Y, *et al.* The effect of aluminum on non-metallic inclusions in rare earth heat-resistant steel[J]. Steel, 2022, 57(4): 52-57.

 (王野光, 刘承军, 邱吉雨, 等. 铝对稀土耐热钢中非金属夹杂物的影响[J]. 钢铁, 2022, 57(4): 52-57.)
- [19] QIU J, WANG H, HUO G, *et al.* Phase diagram of CaO–Al₂O₃-CeO_x slag system at 1600 °C in reducing atmosphere and air atmosphere[J]. Ceramics International, 2023, 49(12): 20447-20455.
- [20] MIAO Z Q. Formation mechanism and key metallurgical process of large size inclusions in high-end bearing steel[D]. Beijing: University of Science and Technology Beijing, 2023.
 (苗志奇. 高端轴承钢中大尺寸夹杂物形成机理与关键冶金工艺[D]. 北京: 北京科技大学, 2023)
- [21] YUE Q, CHEN Z, ZOU Z S. Mechanism analysis of agglomeration of non-metallic inclusions in molten steel[J]. Steel, 2008(11): 37-40.
 (岳强, 陈舟, 邹宗树. 钢液中非金属夹杂物团聚的机理分析[J]. 钢铁, 2008(11): 37-40.)
- [22] GENG R M, LI J, SHI C B, *et al.* Evolution of inclusions with Ce addition and Ca treatment in Al-killed steel during RH refining process[J]. ISIJ International, 2021, 61(5): 1506-1513.
- [23] KITANO R, ISHII M, UO M, *et al.* Thermodynamic properties of the Cao–AlO_{1.5}–CeO_{1.5} system[J]. ISIJ International, 2016, 56(11): 1893-1901.

编辑 邓淑惠